

3/15-6

С 341.2а

А-465

ОБЪЕДИНЕННЫЙ  
ИНСТИТУТ  
ЯДЕРНЫХ  
ИССЛЕДОВАНИЙ

Дубна

P-2014



Ю.А.Александров, Ю.В.Рябов, Г.С.Самосват

ПОПЫТКА ОПРЕДЕЛЕНИЯ ЧЕТНОСТИ  
ОСНОВНОГО СОСТОЯНИЯ  $\text{Pu}^{239}$

ЛАБОРАТОРИЯ НЕЙТРОННОЙ ФИЗИКИ

1965

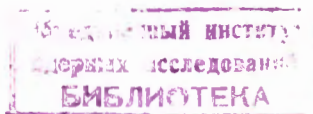
P-2014

Ю.А.Александров, Ю.В.Рябов, Г.С.Самосват

30.65/2 №.

ПОПЫТКА ОПРЕДЕЛЕНИЯ ЧЕТНОСТИ  
ОСНОВНОГО СОСТОЯНИЯ  $P_u^{280}$  \*)

Работа была представлена в качестве доклада  
на XIV ежегодном совещании по ядерной спектроскопии  
в Тбилиси, февраль 1984 г.



## Введение.

В настоящее время принято, что четность основного состояния  $Pu^{239}$  положительна<sup>/2/</sup>. Однако в ряде работ<sup>/3,4,5/</sup> обращалось внимание на то, что этот выбор не может считаться окончательным, и ставился вопрос о дополнительной проверке четности. В работе<sup>/3/</sup> была предложена систематика четностей основных состояний  $a$  - активных ядер. Одним из немногих исключений в этой систематике является делительная четность  $Pu^{239}$ <sup>/4/</sup>. В работе<sup>/4/</sup> было показано, что формула Бранд-Уилса<sup>/8/</sup> для среднего значения делительных ширин уровней составного ядра с определенным спином и четностью дает удовлетворительное согласие с экспериментом на делениях ядрах  $U^{235}$ ,  $U^{238}$  и  $Pu^{241}$ <sup>/4/</sup>. Однако для резонансов со спином 0<sup>/4/</sup> это расхождение составляет почти 2 порядка. Авторы работы<sup>/4/</sup> отмечают, что это расхождение устраняется, если основное состояние  $Pu^{239}$  имеет отрицательную четность.

Одним из возможных путей получения информации о четности основного состояния  $Pu^{239}$  является изучение спектров  $\gamma$ -лучей реакции  $Pu(n,\gamma)$ ,  $Pu^{240}$ <sup>/4/</sup>, в процессе которой могут образовываться состояния составного ядра  $Pu^{240}$  со спинами 0 и 1.

На рис. 1 приведена схема нижних уровней  $Pu^{240}$ <sup>/2/</sup> и указаны возможные переходы на эти уровни из захватных состояний обоих спинов как для положительной, так и для отрицательной четности. Если принять во внимание известные соотношения вероятностей  $\gamma$ -переходов различных типов, то из этого рисунка можно видеть, что в случае отрицательной четности общая интенсивность переходов на уровень  $Pu^{240}$  с возбуждением до 700 кэв в резонансах со спином 1 должна быть много больше, чем соответствующая интенсивность в резонансах со спином 0. В случае же положительной четности этот эффект будет гораздо слабее. В частности, для переходов в основное и первое возбужденное состояния такая зависимость интенсивности от спинов исходного состояния обуславливается различием вероятностей переходов типа E1 и M2 при отрицательной четности и переходов M1 и E2 - при положительной.

Исходя из этого, в данной работе была предпринята попытка измерения  $\gamma$ -лучей<sup>/29/</sup> от захвата нейтронов в ряде резонансов  $Pu^{239}$ . Возможности подобного эксперимента сильно ограничиваются наличием  $\gamma$ -лучей деления, вклад которых необходимо учитывать.

Помимо информации о четности  $Pu^{238}$ , исследование  $\gamma$ -спектров радиационного захвата резонансных нейтронов само по себе представляет интерес, так как подобные сведения для делящихся ядер в литературе отсутствуют.

### Измерения

Измерения выполнены на импульсном реакторе Объединенного института ядерных исследований с использованием метода времени пролета нейтронов при разрешении около 0,5 мкsec/м. Образец плутония весом 193 г располагался в пучке нейтронов на расстоянии 100 м от реактора. Спектрометром  $\gamma$ -лучей служил цилиндрический кристалл  $NaI(Tl)$  размером 90x90 мм с фотоумножителем ФЭУ-2Б, находящийся вне пучка в свинцовой и борной защите. Энергетическая шкала спектрометра калибровалась с помощью источников  $Na^{22}$  ( $E_\gamma = 1,28$  МэВ) и  $Po - Be$  ( $E_\gamma = 4,43$  МэВ).

Импульсы с фотоумножителя анализировались по времени появления относительно нейтронных импульсов реактора и по амплитуде двухмерным анализатором с 32 временным и 64 амплитудными каналами, сделанным на базе серийного анализатора. Это давало возможность одновременно измерять спектры  $\gamma$ -лучей, вызываемых поглощением нейтронов различных энергий.

Измерения проводились в два приема: мягкая часть спектра (1-5 МэВ) измерялась около 8 часов, жесткая часть (4,5 - 8,5 МэВ) - 53 часа.

В той же геометрии был измерен спектр  $\gamma$ -излучения образца при остановленном реакторе. Жесткая часть этого спектра целиком обязана спонтанноделящемуся изотопу  $Pu^{240}$ , присутствующему в образце. Как и при делении  $Pu^{238}$  нейтронами, она содержит сравнимые вклады мгновенных  $\gamma$ -лучей деления и  $\gamma$ -лучей от захвата нейтронов деления в кристалле и окружающих материалах. В более мягкой части добавляются  $\gamma$ -лучи от осколков и  $\alpha$ -распада.

Кроме того, для абсолютных оценок выхода  $\gamma$ -линий было проведено измерение спектров  $\gamma$ -лучей реакции  $Pt^{195}(n,\gamma)Pt^{196}$  в резонансах при 11,9 и 19,6 эВ с известным выходом трех самых жестких линий<sup>7/</sup>. Разница в суммарных выходах этих линий для указанных резонансов величиной в 1,6 кванта на 100 захваченных нейтронов надежно регистрировалась нашим спектрометром.

### Результаты и их обработка

В таблице приведены параметры резонансов  $Pu^{238}/8,9/$ , в которых были измерены спектры  $\gamma$ -лучей. Эти спектры содержат вклады захвата и деления. Часть временного спектра импульсов, содержащая пять исследованных резонансов, показана на рис. 2.

Для суждения о четности нужно было выяснить различия в спектрах вблизи энергии связи нейтрона ( $\sim 6,5$  Мэв) и связь этих различий со спинами резонансов. Однако сравнение всех измеренных спектров показало, что их формы выше 4-5 Мэв в пределах ошибок совпадают. Поскольку нет причин ожидать различий в  $\gamma$ -спектрах от деления в разных резонансах, то отсюда следует, что не обнаружено различий в  $\gamma$ -спектрах захвата. Привлечение данных по  $Pt^{195}$  позволило дать оценку для разности интенсивностей переходов из состояний со спином 1 и спином 0 на нижние уровни  $0^+$  и  $2^+$  ядра  $Pu^{240}$ :  $I_y < 0,1$  кванта на 100 поглощенных нейtronов. В шестом столбце таблицы эта оценка, пересчитанная на 100 захватов радиационного захвата, приводится для разных резонансов.

Дальнейшая информация о спектрах захвата была получена путем нормирования всех спектров по площади выше 6,6 Мэв, в которую дает вклад только деление. Результат нормирования изображен на рис. 3. Видно, что кривые начинают расходиться только при энергии ниже 5 Мэв. При этом в соответствии с относительным вкладом захвата (пятый столбец таблицы) ниже всех идет кривая для резонанса 10,93 эв, выше всех — для резонанса 11,90 эв; остальные кривые располагались между ними и на рисунке не показаны. Вычитание нижней кривой из всех остальных дает чистые спектры захвата за вычетом некоторой части захватного спектра резонанса 10,93 эв (рис. 4). Площади этих спектров  $S_{\text{эксп}}$  почти совпадают с соответствующими площадями  $S_{\text{расч}}$ , полученными из известных ширин резонансов  $\Gamma_y$  и  $\Gamma_f$ . Неточное совпадение вызвано, по-видимому, неполным разделением резонансов, особенно при 10,93 и 11,90 эв.

На рис. 4 видно, что все спектры кончаются значительно раньше энергии связи нейтрона. Подсчет соответствующих площадей приводит к тому, что суммарная интенсивность переходов на уровня с энергией возбуждения ниже 700 кэв  $I_y < 0,5$  кванта на 100 поглощенных нейtronов. Эта оценка в пересчете на 100 захватов приведена в седьмом столбце таблицы для отдельных резонансов.

Т а б л и ц а  
Параметры резонансов и оценки интенсивностей  $\gamma$ -лучей

Энергия резонанса, эв	Спин	$\Gamma_y$ , мэв	$\Gamma_f$ , мэв	$\frac{\Gamma_y}{\Gamma_y + \Gamma_f}$	Выход $\gamma$ -лучей на 100 захватов $I_y$	
					$E_y > 6,3$ Мэв	$E_y > 5,6$ Мэв
0,297	0	$39 \pm 2$	$61 \pm 2$	$0,39 \pm 0,03$	—	—
7,84	.1	$38 \pm 3$	$42 \pm 3$	$0,47 \pm 0,05$	$< 0,2$	$< 1$
10,93	1	$32 \pm 13$	$147 \pm 10$	$0,18 \pm 0,09$	$< 0,6$	—
11,90	1	$41 \pm 5$	$22 \pm 2$	$0,65 \pm 0,04$	$< 0,15$	$< 1$
17,5	1	$39 \pm 7$	$46 \pm 7$	$0,46 \pm 0,10$	$< 0,2$	$< 1$
22,2	0	$35 \pm 6$	$75 \pm 6$	$0,32 \pm 0,08$	—	$< 1,5$

Несколько выпадает из общей картины спектр резонанса при 22,2 эв, имеющего наименьший после резонанса при 10,93 эв вклад захвата и нулевой спин. Площадь жесткого "хвоста" для него получается отрицательной и лежит за пределами ошибок. Не исключено, что спектр захвата для этого резонанса мягче остальных. Однако определенные выводы отсюда сделать пока трудно.

### Выводы

1. Проведенные измерения показали, что в составном ядре  $\text{Pu}^{240}$ , по-видимому, отсутствуют или сильно затруднены переходы типа E1 и M1 из исходных захватных состояний на нижние уровни  $0^+$ ,  $2^+$  и  $1^-$  с возбуждением до 700 кэв.

2. Поскольку переходов, подлежащих сравнению, не обнаружено, вопрос о четности основного состояния  $\text{Pu}^{239}$  остается открытым.

3. Для уточнения настоящих результатов полезно провести подобные измерения более "чисто"; во-первых, нужно отделить спектр захвата от спектра деления, во-вторых, желательно улучшить энергетическое разрешение  $\gamma$ -спектрометра.

Авторы прилагательны Ф.Л.Шапиро за большой интерес и внимание к работе. Мы благодарны также Н.С.Работину и Л.Н.Усачеву за полезные обсуждения, Б.Е.Журавлеву и В.Г.Тишину за обеспечение работы электроники и А.А.Лошкареву за помощь при измерениях.

### Литература

1. Программа и газета докладов XIV ежегодного совещания по ядерной спектроскопии в Тбилиси, февраль 1964 г., стр. 70.
2. Б.С.Джеленов, Л.К.Пекер. Схемы распада радиоактивных ядер. Изд. АН СССР, М-Л, 1958.
3. В.Н.Андреев. Препринт ИТЭФ №34, 1962, ЖЭТФ, 42, 913, 1962.
4. Л.Н.Усачев, В.А.Павличук, Н.С.Работин. Сообщение на XII ежегодном совещании по ядерной спектроскопии, Киев, 1963.
5. И.В.Киричников, К.Г.Игаатьев, С.И.Сухоручкин. Препринт ИТЭФ № 153, 1963.
6. N.Bohr, I.A.Wheeler. Phys. Rev., 55, 1124 (1939).
7. J.B.Chrien, H.H.Bloch, V.Polyevsky. Phys. Rev., 127, 1660 (1962).
8. Д.Юз, Р.Шварц. Атлас нейтронных сечений. Атомиздат, 1959.
9. J.S.Dresser, L.B.Schwartz. Nucl. Phys., 30, 269 (1962).

Рукопись поступила в издательский отдел  
20 февраля 1965 г.

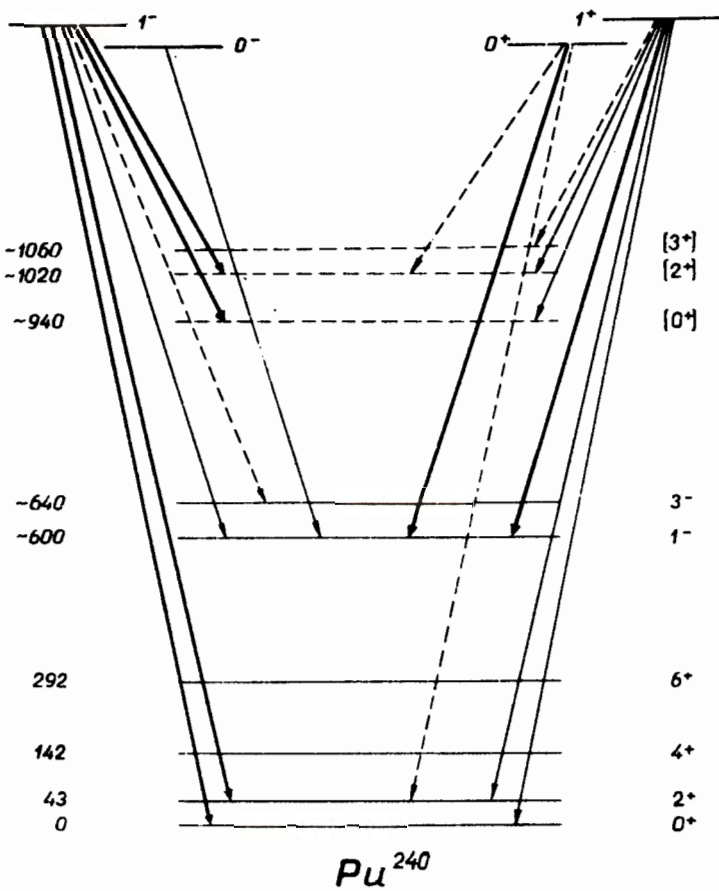


Рис. 1. Схема уровней  $Pu^{240}$  и возможные у-переходы из различных состояний составного ядра. Показаны только переходы типа E1, M1 и E2 соответственно толстыми, тонкими и пунктирными стрелками.

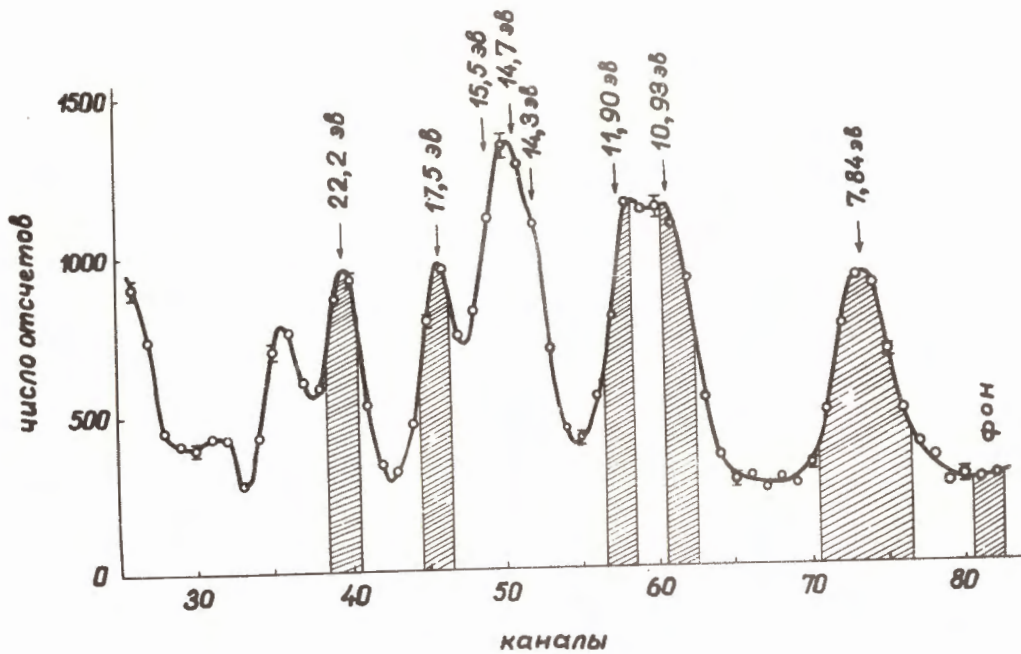


Рис. 2. Участок временного спектра, полученного при пороге регистрации  $\text{Pu}^{239}$ .  
 у - лучей около 1 Мэв. Отмечены положения резонансов  $\text{Pu}^{239}$ .  
 Заштрихованы участки временного спектра, в которых исследо-  
 вались амплитудные спектры. Один из участков служил фоном.

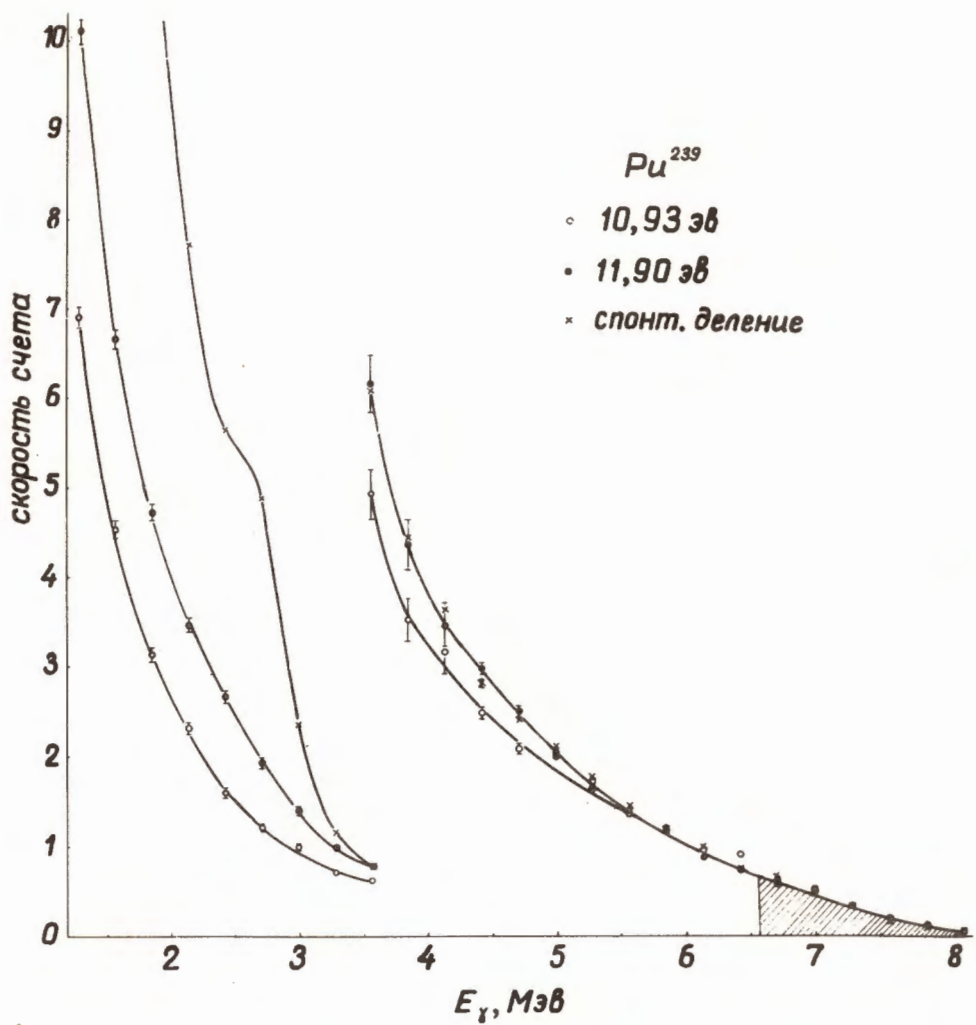


Рис. 3. Результат нормирования спектров выше 6,8 МэВ (область нормировки заштрихована). Показаны только две кривые, остальные проходят между ними. Приводится также  $\gamma$ -спектр необлучаемого образца.

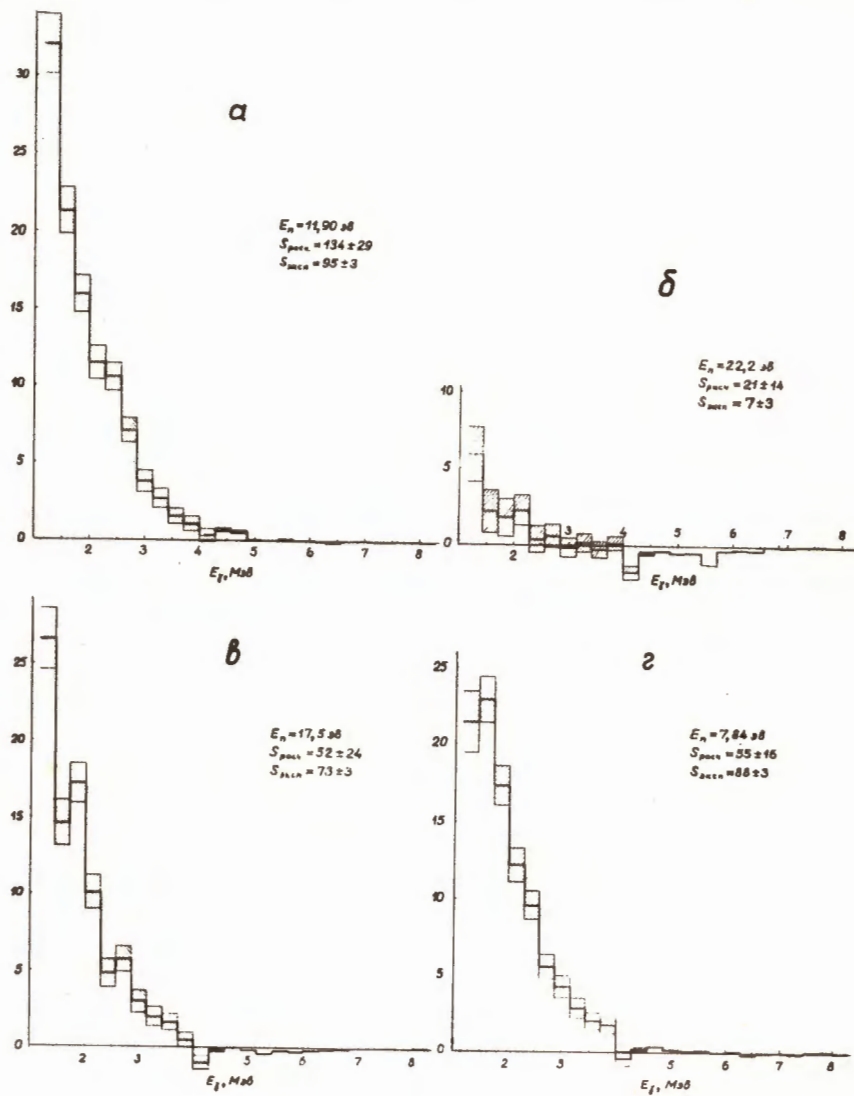


Рис. 4. Спектры  $\gamma$ -лучей захвата, полученные путем вычитания суммарного спектра разонанса при 10,83 эВ с малым вкладом захвата из спектров остальных резонансов. Площади спектров  $S_{\text{расч}}$  и  $S_{\text{эксп}}$  даны в произвольных единицах, выбранных так, что сумма всех  $S_{\text{расч}}$  совпадает с суммой всех  $S_{\text{эксп}}$ .